

CES Softwareentwicklungspraktikum

Analyse- und Entwurfsdokument

Lena Blum, Alexander Fischer und William Hulin

Matr.-Nr. 302253, 303979 und 293858

email:

[lena.blum|alexander.fischer|william.hulin]@rwth-aachen.de

Inhaltsverzeichnis

1	Vorwort	2
1.1	Aufgabenstellung und Struktur des Dokuments	2
1.2	Projektmanagement	2
2	Analyse	3
2.1	Anforderungsanalyse	3
2.1.1	Benutzeranforderungen	3
2.1.2	Anwendungsfallanalyse	5
2.2	Begriffsanalyse	10
3	Entwurf	11
3.1	Grobentwurf: Subsysteme	11
3.2	Detailentwurf: Klassen	12
3.2.1	Statik	18
3.2.2	Dynamik	18
3.3	Graphical User Interface	18
3.4	Use-Case-Diagramm	18
4	Benutzerdokumentation	19
5	Entwicklerdokumentation	20
A	Quellcode	21

Kapitel 1

Vorwort

1.1 Aufgabenstellung und Struktur des Dokuments

Aufgabenstellung

Im Rahmen des Softwareentwicklungspraktikums (CES_SS2012) soll eine Software zur Simulation eines Stehaufkreisels erstellt werden. Die Simulationssoftware muss sowohl den reibungsfreien, als auch den reibungsbehafteten Fall korrekt simulieren können.

Als Programmiersprache soll C++ verwendet werden. Der Quellcode soll derart strukturiert und kommentiert sein, dass spätere Modifikationen und Erweiterungen durch Dritte möglich sind.

1.2 Projektmanagement

Protoyping (MATLAB/ FORTRAN)	Alexander
Dokumentation	Lena
Coding:	
Parameterset, Solver, Solution, Rkv56Parset, Rkv56, DESolution, «interface» RightSide, RHS, Rkv56Modified	Alexander
«interface » Out putInterface, Out putToolbox, Main, ExceptionHandlingModule, MathException, NonCriticalME, CriticalME, ParameterException	William
GUI	Lena

Kapitel 2

Analyse

2.1 Anforderungsanalyse

2.1.1 Benutzeranforderungen

Das von Herrn Professor Gauger gestellte Simulationsproblem umfasst die Erstellung einer Software zur Simulation eines Stehaufkreisels.

Die Simulation muss sowohl den reibungsbehafteten, als auch reibungsfreien Fall korrekt simulieren.

Im Speziellen wird ein Runge-Kutta56-Verfahren mit adaptiver Schrittweitensteuerung unter Betrachtung einer Erhaltungsgröße (*conserved quantity*) zur Simulation des Problems verwendet.

Das Rkv56 Verfahren wurde durch ein StepperDopr853-Verfahren ersetzt, um eine höhere Genauigkeit zu erreichen.

Die Realisierung der Simulation findet in C++ statt.

Die Bedienung sowie das Ausgeben der Simulationsergebnisse muss durch eine grafische Benutzeroberfläche (*GUI*) möglich sein.

Die Simulationsergebnisse können in einer *ASCII*-formatierten Datei zur weiteren Verarbeitung und Auswertung exportiert werden.

Durch den modularen Aufbau ist die Wartbarkeit und einfache Erweiterbarkeit der Software durch Dritte gewährleistet.

Das Kernproblem besteht im Lösen der Rechten Seite des folgenden Differentialgleichungssystems:

$$\begin{aligned} & \ddot{\theta}(I + ma^2 \sin^2 \theta + kma \sin \theta (R - a \cos \theta)(-\dot{x}_c \sin \phi + \dot{y}_c \cos \phi + (R - a \cos \theta)\dot{\theta})) \\ &= \underbrace{-(I_3 - I)\dot{\phi}^2 \sin \theta \cos \theta - I_3 \dot{\phi} \sin \theta \dot{\psi}}_{=0} + (g + a\dot{\theta}^2 \cos \theta)(-ma \sin \theta - km(R - a \cos \theta) \\ & (-\dot{x}_c \sin \phi + \dot{y}_c \cos \phi + (R - a \cos \theta)\dot{\theta})) \end{aligned}$$

$$\begin{aligned}\ddot{\phi}I \sin \theta &= - \underbrace{(2I - I_3)}_{=I} \dot{\phi} \dot{\theta} \cos \theta + I_3 \dot{\theta} \dot{\psi} \\ &\quad - km(g + a \cos \theta \dot{\theta}^2 + a \sin \theta \ddot{\theta})(a - R \cos \theta)(\dot{x}_c \cos \phi + \dot{y}_c \sin \phi + (a\dot{\phi} + \dot{\psi}R) \sin \theta)\end{aligned}$$

$$\begin{aligned}\ddot{\psi}I_3 &= -I_3(\ddot{\phi} \cos \theta - \dot{\phi} \dot{\theta} \sin \theta) \\ &\quad - km(g + a \cos \theta \dot{\theta}^2 + a \sin \theta \ddot{\theta})(R \sin \theta)(\dot{x}_c \cos \phi + \dot{y}_c \sin \phi + (a\dot{\phi} + \dot{\psi}R) \sin \theta)\end{aligned}$$

$$m\ddot{x}_c = -km(g + a \cos \theta \dot{\theta}^2 + a \sin \theta \ddot{\theta})(\dot{x}_c + (a\dot{\phi} + \dot{\psi}R) \sin \theta \cos \phi + (a \cos \theta - R) \sin \phi \dot{\theta})$$

$$m\ddot{y}_c = -km(g + a \cos \theta \dot{\theta}^2 + a \sin \theta \ddot{\theta})(\dot{y}_c + (a\dot{\phi} + \dot{\psi}R) \sin \theta \sin \phi + (R - a \cos \theta) \cos \phi \dot{\theta})$$

2.1.2 Anwendungsfallanalyse

Beschreibung der Anwendungsfälle

Name	Export/Import as Tecplot file	
Ziel	Enable storage of simulation data	
Einordnung		
Vorbedingung	Simulation has been run/There are existing save files	
Nachbedingung	A save file is created/Simulation data is loaded and graphed	
Nachbedingung im Fehlerfall	Errormessage is shown	
Haupt-Neben-akteure	User	
Auslöser	User presses the <i>Export Data</i> or <i>Import data</i> button	
Standardfluss	Schritt	Aktion
	1	User presses the <i>Export Data</i> or <i>Import data</i> button
	2	User selects a file to export/import
	3	Export file is created/Simulation data is loaded and graphed

Name	Input Parameters	
Ziel	A set of parameters have been entered	
Einordnung		
Vorbedingung		
Nachbedingung	The user can start a simulation	
Nachbedingung im Fehlerfall	Errormessage is shown	
Haupt-Neben-akteure	User	
Auslöser	User presses the <i>Change Parameter</i> button in the GUI	
Standardfluss	Schritt	Aktion
	1	User presses the <i>Change Parameter</i> button in the GUI
	2	User enters parameters in a popup-window
	3	User clicks <i>Submit Changes</i>
Nebenfluss	Schritt 2a	Aktion User clicks on the Import/Export buttons

Name	Save/Load Parameters from file	
Ziel	Parameters are saved/loaded from file	
Einordnung		
Vorbedingung	There are parameters to save/there is a file to load	
Nachbedingung	A parameter file is created/parameters are loaded	
Nachbedingung im Fehlerfall	Errormessage is shown	
Haupt-Neben-akteure	User	
Auslöser	User presses the <i>Save</i> or <i>Load</i> button in the GUI	
Standardfluss	Schritt	Aktion
	1	User presses the <i>Change Parameter</i> button
	2	User presses the <i>Save</i> or <i>Load</i> button in the GUI
	3	User clicks <i>User chooses a file to save/load</i>
Nebenfluss	Schritt 1a	Aktion User enters parameters

Name	Start Simulation	
Ziel	Run the mathematical solver with the given parameters	
Einordnung		
Vorbedingung	Parameters have been entered and checked for validity	
Nachbedingung	Solver is finished, output is being created	
Nachbedingung im Fehlerfall	Solver could not finish calculation	
Haupt-Neben-akteure	User, Solver	
Auslöser	User presses the <i>Simulate</i> button in the GUI	
Standardfluss	Schritt	Aktion
	1	User starts the simulation
	2	Check validity of parameters
	3	Run the solver

Name	Toggle View	
Ziel	Enable the user to view a different set of graphs	
Einordnung		
Vorbedingung	There is simulation data to be graphed	
Nachbedingung		
Nachbedingung im Fehlerfall	Errormessage is shown	
Haupt-Neben-akteure	User	
Auslöser	User presses one of the buttons <i>Angles</i> , <i>Derivatives</i> or <i>Positions</i> in the GUI	
Standardfluss	Schritt	Aktion
	1	User presses one of the buttons <i>Angles</i> , <i>Derivatives</i> or <i>Positions</i> in the GUI
	2	A new set of data is graphed according to the button pressed

Systemanforderungen

Funktionale Anforderungen

Dem Anwender ist es möglich die Simulationsparameter k (Reibung) sowie $\psi(\text{rad/s})$, $\theta(\text{rad})$, $R(\text{cm})$, $a(\text{cm})$, $m(\text{g})$ und die Toleranz der Erhaltungsgroößen über eine grafische Eingabemaske festzulegen. Wenn während der Simulation ein Fehler auftritt wird der Anwender über ein Popup-Fenster benachrichtigt. Nach Durchlauf der Simulation bekommt der Anwender die Simulationsergebnisse $\theta, \psi, \phi, x_c, y_c, \dot{\theta}, \dot{\psi}, \dot{\phi}$ in Form von *LineCharts* in eine *GUI* eingebettet angezeigt.

Die auf der *GUI* ausgegebenen Plots können als Bilddatei oder im Tecplotformat

exportiert werden.

Kommt es während der Laufzeit zu einem kritischen Fehler (ein Fehler, der das korrekte Fortführen des Programmes unmöglich macht) wird der Anwender über ein Popup-Fenster benachrichtigt und das an die Stelle zurückgesetzt, an der der Fehler auftrat.

Nicht-Funktionale Anforderungen

Die Exportfunktion der Simulationssoftware schreibt Tecplot konforme ASCII-kodierte Ausgabedateien. Vormalig exportierte Dateien können wieder importiert und geplottet werden. Ebenso können ältere Parameterkonfigurationen importiert werden. Der Nutzer kann sich eine Statistik über das Verhalten der Erhaltungsgröße und der Kontrollgrößen zur Schrittweitensteuerung ausgeben lassen.

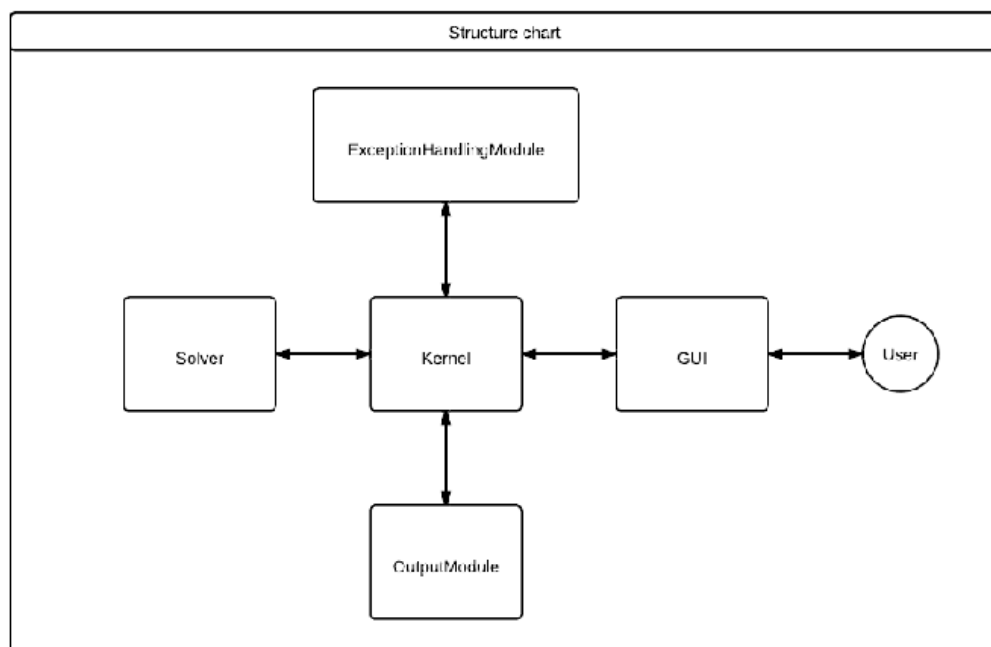
2.2 Begriffsanalyse

- *LineChart - Zwei Achsen Diagramm mit Kartesischem Koordinatensystem. Die einzelnen Datenpunkte sind durch gerade Linien verbunden.*
- *GUI - Eine grafische Benutzeroberfläche (GBO oder GUI) ist eine Software-Komponente, die dem Benutzer eines Computers die Interaktion mit der Maschine über grafische Symbole erlaubt.*

Kapitel 3

Entwurf

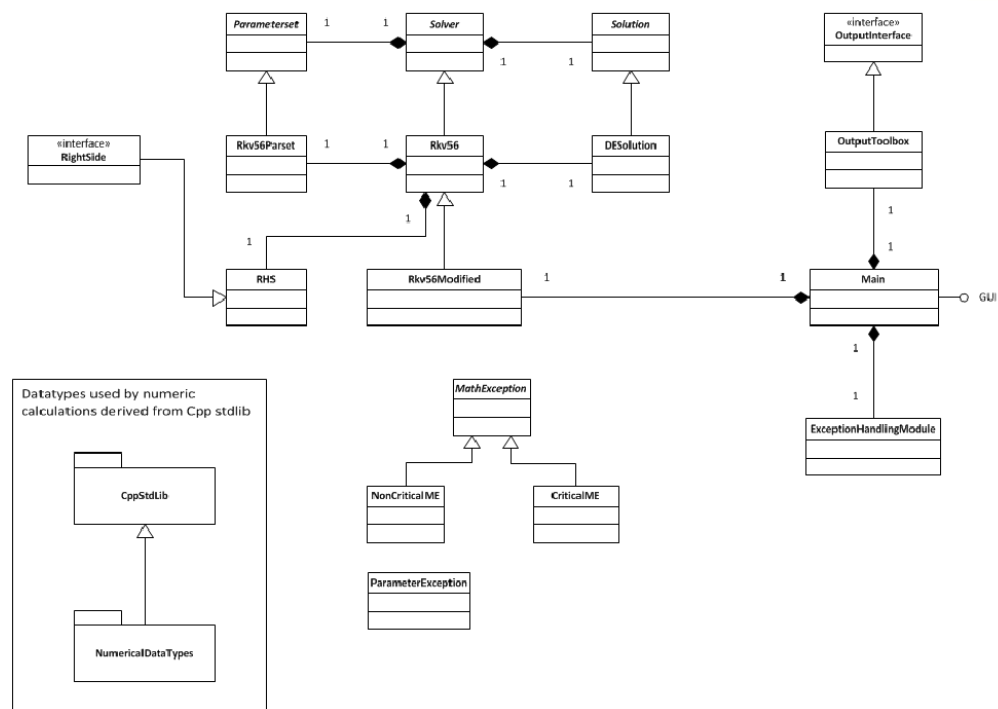
3.1 Grobentwurf: Subsysteme

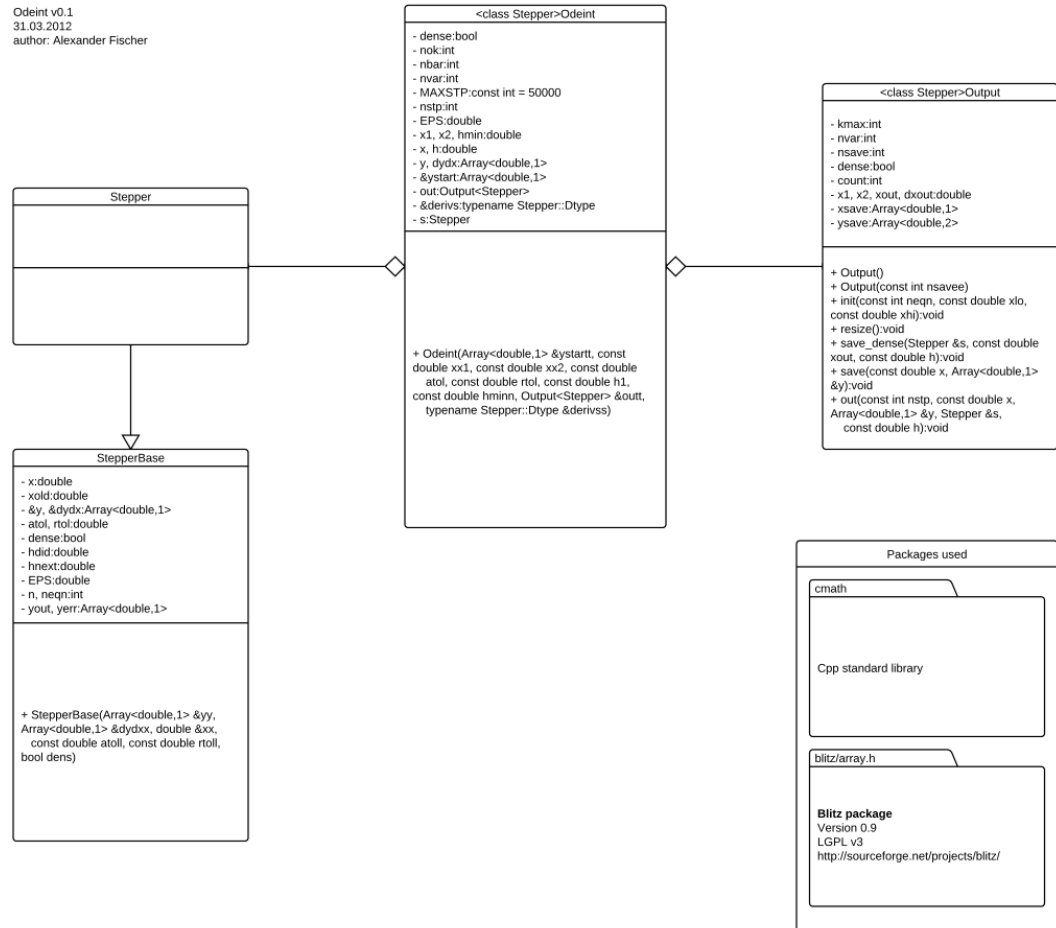


3.2 Detailentwurf: Klassen

RWTH SSELAB WS11/12 G11 V0.4

25. Januar 2012





StepperDopr853 - Dormand-Prince 853 method

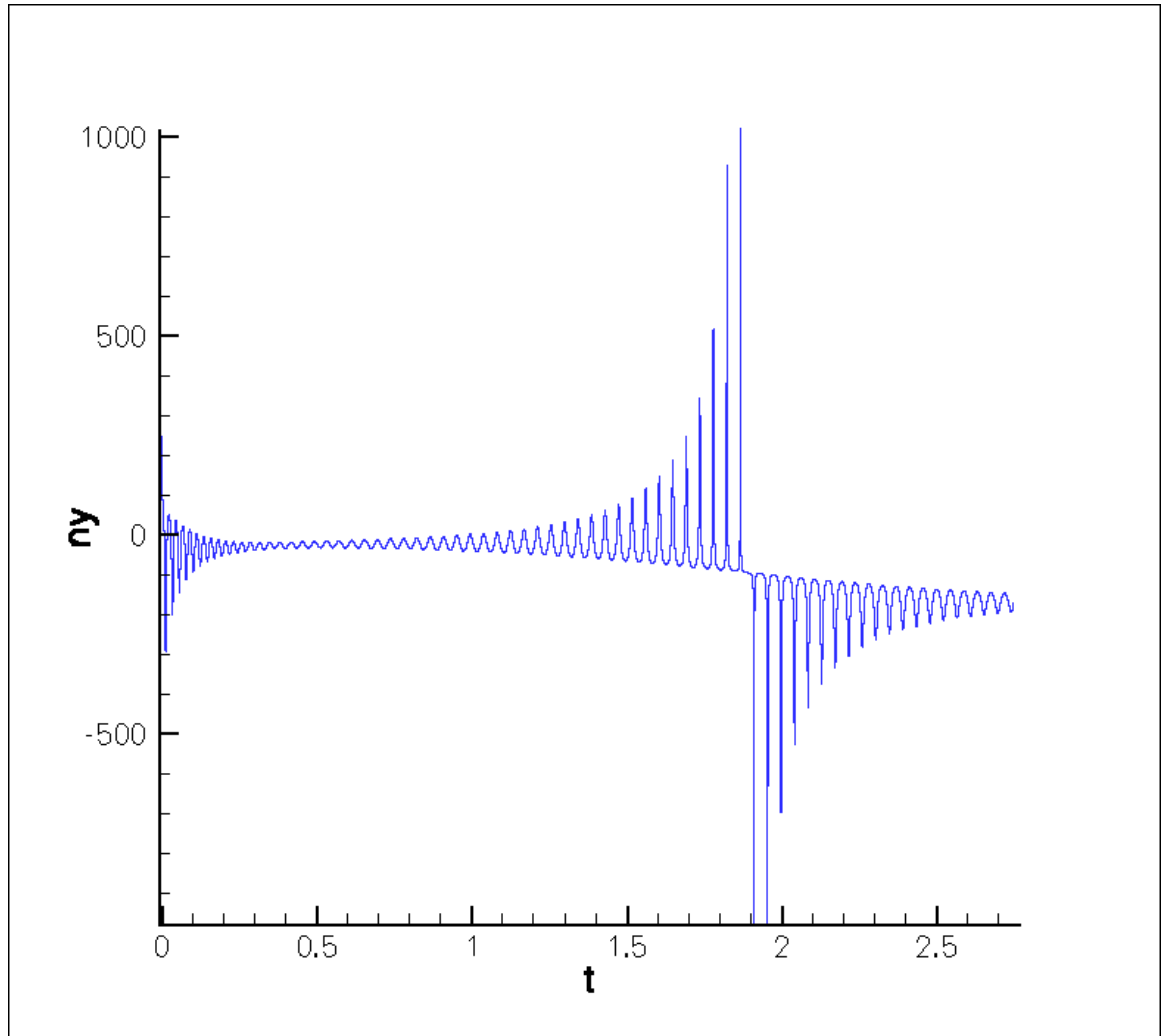
Entwicklungsschritte vom Prototypen zum fertigen Löser

Um Referenzdaten erzeugen zu können und frühzeitig mathematische Fehler ausschließen zu können haben wir uns für die Implementierung eines Prototypen entschieden. Nach der ersten Implementierung eines rk56 Verfahrens in Matlab entschieden wir uns, zu Gunsten einer höheren Genauigkeit und Geschwindigkeit, weiter Implementierungen in Fortran95 zu programmieren. Der fertige Fortran Prototyp, ebenfalls ein Runge-Kutta 56 mit adaptiver Schritt-

zweitensteuerung, benötigte für die Lösung des TippeTop Problems¹

```
Simulation of the TippeTop gyro
Performing rk45
Solution computed
Steps:
3160922
Done
```

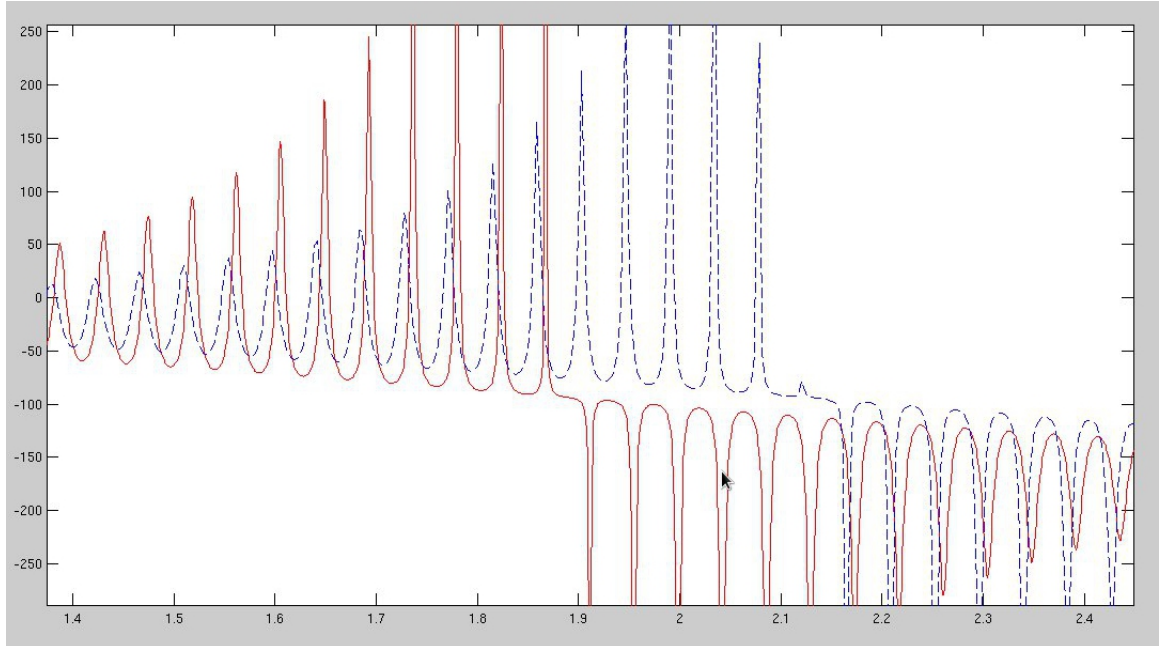
Lösung des Prototypen für $\dot{\psi}$ in *rot/s*



Auf Grund der Erfahrung mit dem Prototypen entschieden wir uns für die Verwendung eines Dopr853 Verfahrens. Die erste Implementierung unter Verwendung des Datentyps double (auf 15 Nachkommastellen genau) lieferte leider

¹ $k = 0.3, h_{min} = 10^{-8}, h_{max} = 10^{-6}, rtol = atol = 10^{-4}, y_0 = (0.0, 0.0, 250.0, 0.0, 0.0, 0.1, 0.0, 0.0, 0.0, 0.0), T = [0, 2.75], dG < 10^{-6}, 3160922$ Einzelschritte.

signifikant falsche Ergebnisse

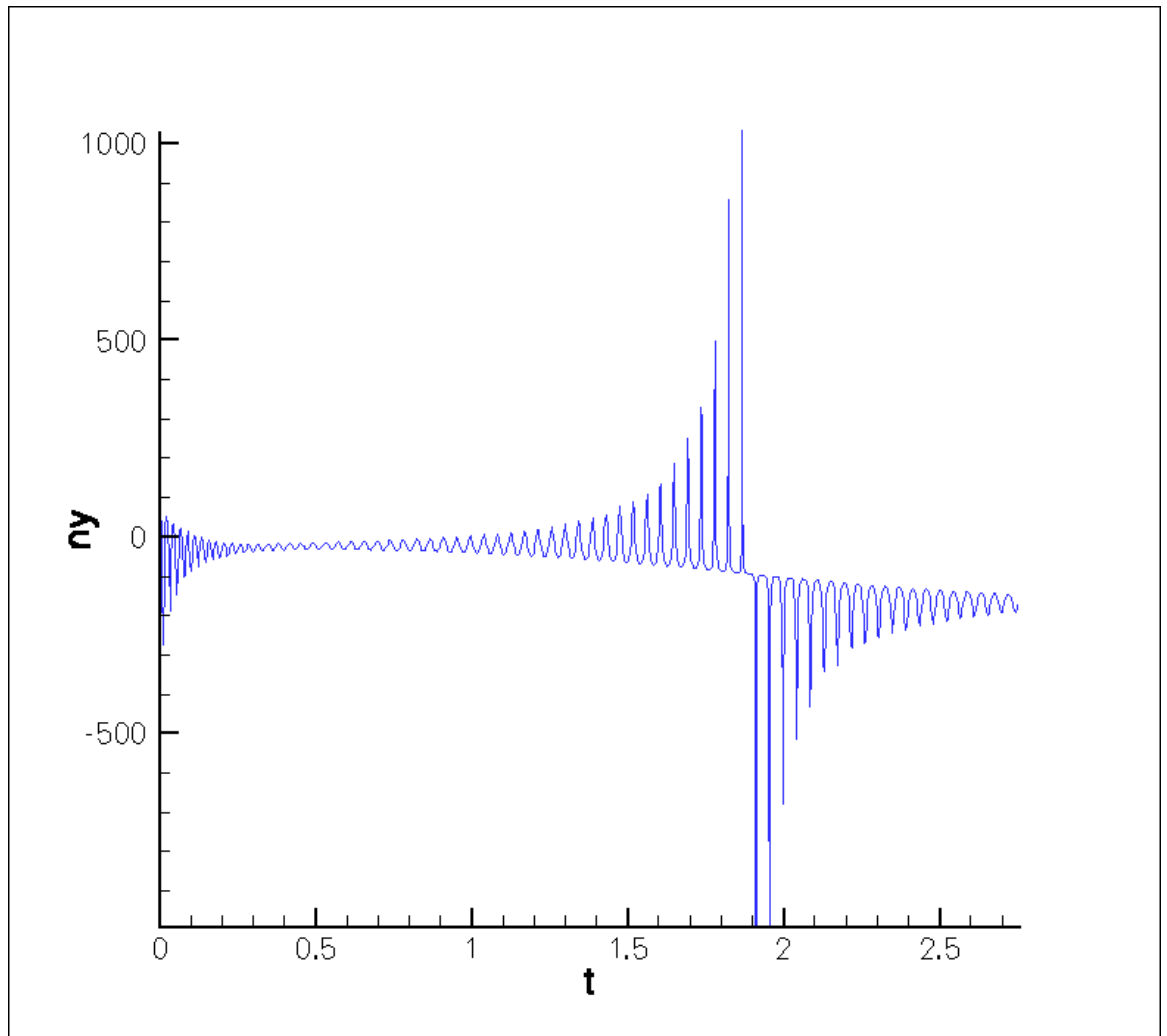


Die korrekte Lösung der rkf56 Fortran95 Implementierung ist rot dargestellt, die falsche Lösung des Dopr853_double Algorithmus in blau. Es lag nahe das diese Unterschiede in der Lösung auf Ungenauigkeiten in der Auswertung der steifen rechten Seite und den Berechnungen des Dopr853 Algorithmus zurückzuführen waren. Wir entschieden uns also für die Verwendung eines genaueren Datentyps, und zwar `NTL::RR` aus der NTL library²

Unter verwendung des `NTL::RR` Datentyps kann der fertige Löser (Dopr853 in `C++`) die Lösung des Problems¹ in 852 Schritten berechnen.

Lösung für ψ (Drehgeschwindigkeit) mit Dopr853:

²<http://www.shoup.net/ntl/>



Der Dopr853 Algorithmus ist ein Algorithmus aus der Familie der Runge-Kutta Algorithmen der Ordnung 8. Für jeden Schritt werden 12 Auswertungen der rechten Seite des DGL benötigt. Der ursprüngliche Algorithmus nutzte eine Fehlerschätzung der Ordnung 6, was sich allerdings in einigen Fällen als unzureichend herausstellte, da dieser Fehlerschätzer jeweils die letzte Auswertung nicht berücksichtigte. Hairer, Nørsett und Wanner¹ konstruierten Abschätzungen der fünften und dritten Ordnung, die auch den letzten Punkt berücksichtigen. Der Fehler kann also über

$$err = err_5 \frac{err_5}{\sqrt{(err_3)^2 + 0.01(err_5)^2}}$$

abgeschätzt werden.

Die meiste Zeit über gilt $err_5 \ll err_3$ und damit $err = O(h^8)$.

StepperDopr853 wurde als Mehrschrittverfahren mit fehlergesteuerter Schritt-

zweitensteuerung implementiert, die neben dem geschätzten Fehler auch noch die Erhaltungsgröße

$$IR\dot{\phi}\sin^2\theta + I_3(R\cos\theta - a)(\dot{\phi}\cos\theta + \dot{\psi}) = \text{const} =: G$$

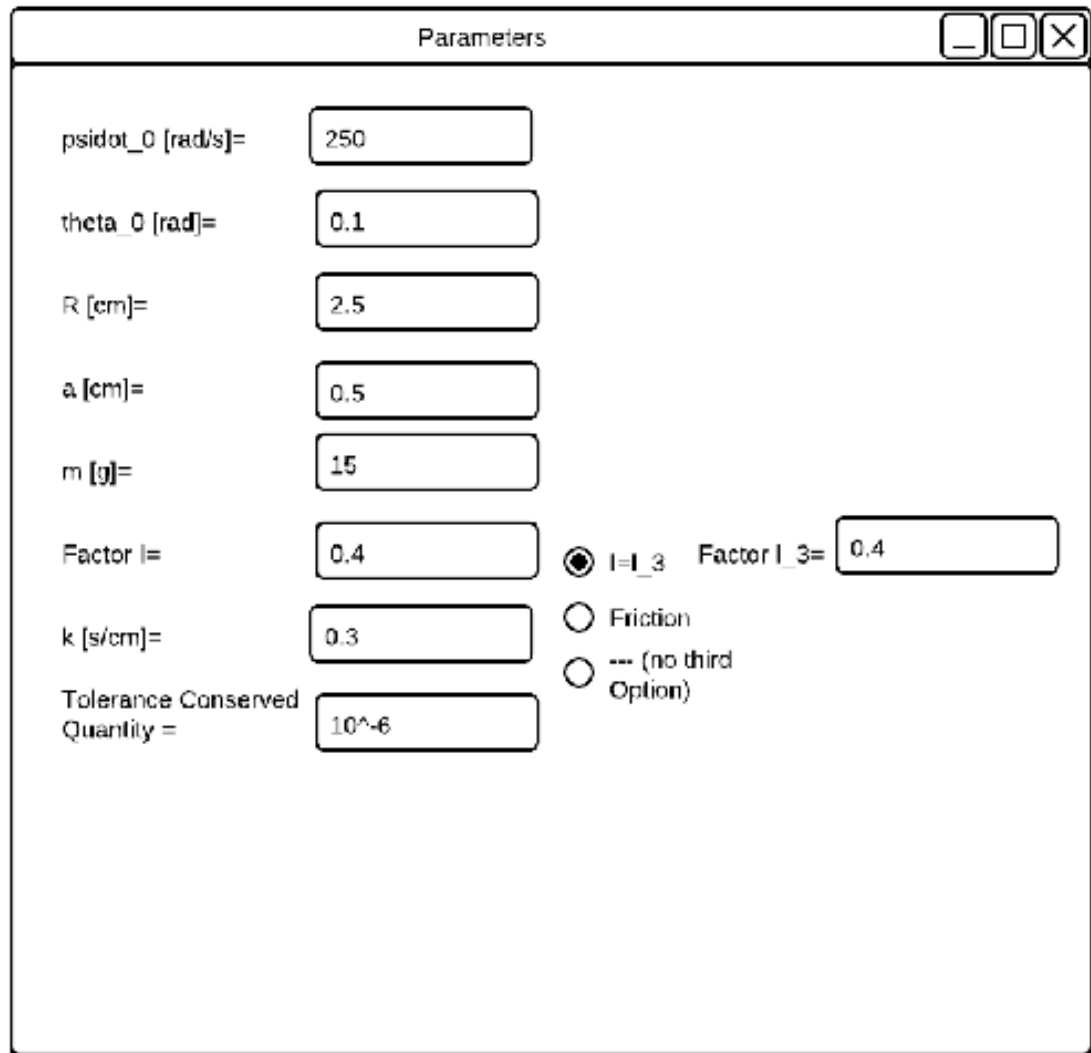
berücksichtigt. (ΔG pro Schritt $< 1E-6$). Der Löser unterstützt sowohl eine dichte Ausgabe *dense output*, als auch die Ausgabe von n äquidistant verteilten Werten.

Frei nach NumericalRecipes3rdEdition - Chapter 17.2.4 Dopr853 - An Eighth-Order Method

textitImplementierung nach Numerical Recipes Software 2007, "Routine Implementing an Eighth-order Runge-Kutta Method," Numerical Recipes Webnote No. 20, at <http://www.nr.com/webnotes?20>³

³Hairer, E., Nørsett, S.P., and Wanner, G. 1993, Solving Ordinary Differential Equations I. Nonstiff Problems, 2nd ed. (New York: Springer). Fortran codes at <http://www.unige.ch/hairer/software.html>

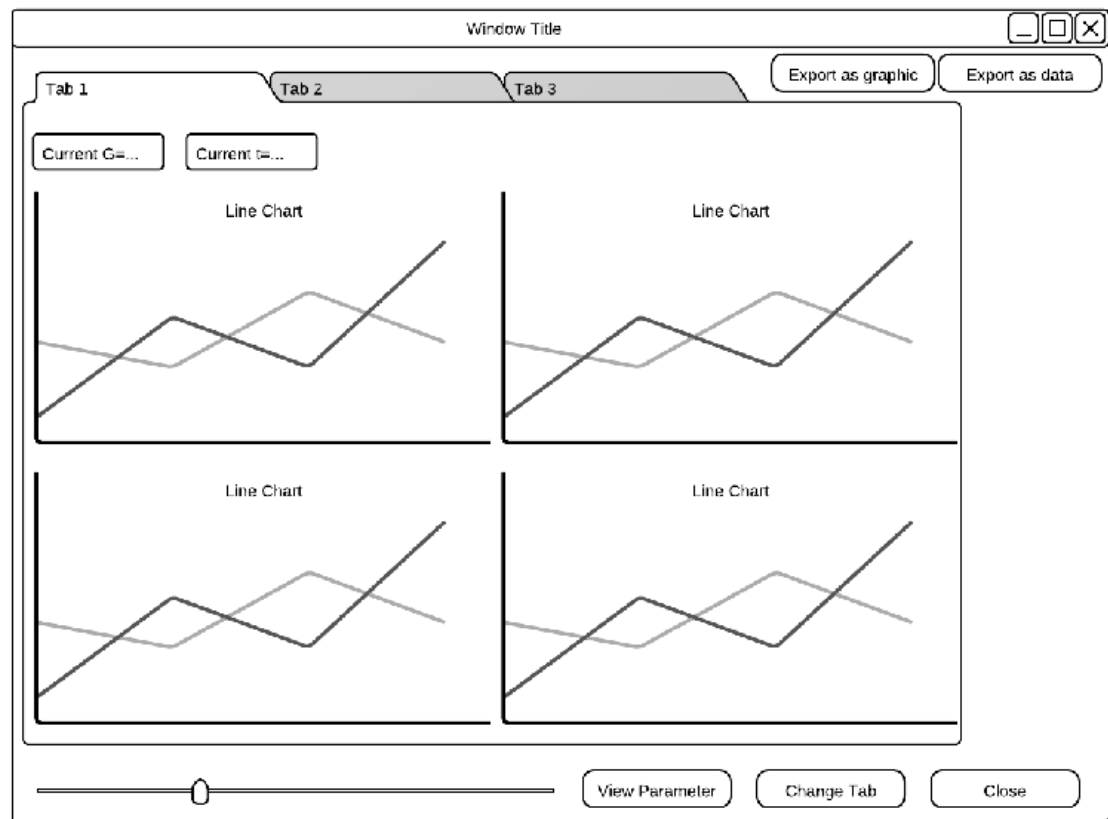
3.3 Graphical User Interface



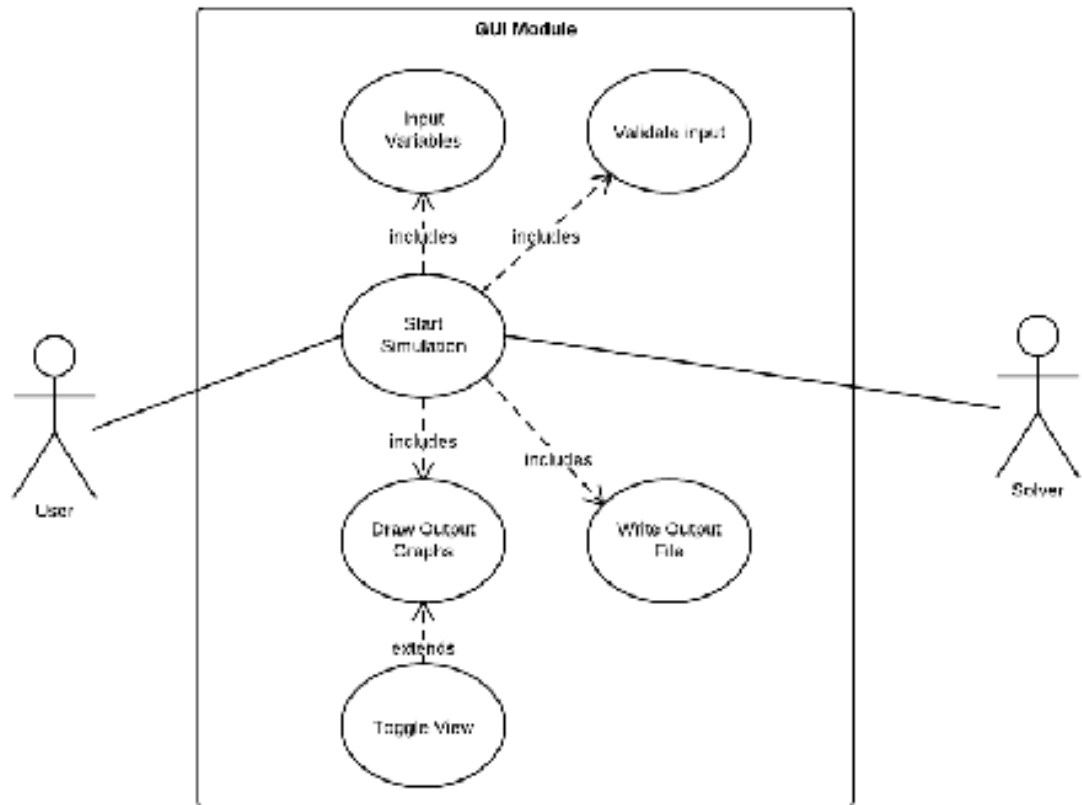
A graphical user interface window titled "Parameters" with standard window controls (minimize, maximize, close) in the top right corner. The window contains several input fields and a group of radio buttons. The parameters are listed on the left, and their corresponding input fields are on the right. The values entered in the fields are: 250 for $\dot{\psi}_0$ [rad/s], 0.1 for θ_0 [rad], 2.5 for R [cm], 0.5 for a [cm], 15 for m [g], 0.4 for Factor I, 0.4 for Factor I_3, 0.3 for k [s/cm], and 10^{-6} for Tolerance Conserved Quantity. The radio buttons are labeled "I=I_3", "Friction", and "--- (no third Option)".

Parameter	Value
$\dot{\psi}_0$ [rad/s]	250
θ_0 [rad]	0.1
R [cm]	2.5
a [cm]	0.5
m [g]	15
Factor I	0.4
Factor I_3	0.4
k [s/cm]	0.3
Tolerance Conserved Quantity	10^{-6}

Radio buttons: ☒ I=I_3, ☐ Friction, ☐ --- (no third Option)



3.4 Use-Case-Diagramm



Kapitel 4

Benutzerdokumentation

Kapitel 5

Entwicklerdokumentation

Anhang A

Quellcode